



Università degli Studi di Trento

Dipartimento di Ingegneria Industriale

CORSO DI LAUREA MAGISTRALE IN INGEGNERIA MECCATRONICA

Tesi di Laurea

Algoritmi per la Valutazione del Contatto tra Pneumatico e Strada in Soft Real Time

Laureando:

Davide Stocco

Relatore:

Prof. Enrico Bertolazzi

Anno Accademico 2019 · 2020

Sommario

This dissertation details ...

Indice

Elenco delle figure	vi
Elenco delle tabelle	viii
Elenco degli acronimi	xi
1 Introduzione	1
1.1 Obiettivi	1
1.2 Il problema	1
2 Il Pneumatico	5
2.1 Una Breve Introduzione	5
2.2 Il modello Pacejka	6
2.3 Standardizzazione ETRTO	7
2.4 Contatto con la Superficie Stradale	7
3 Computation Geometry Algorithms	11
3.1 A Brief Introduction	11
3.2 Point-Segment Intersection	12
3.3 Point-Circle Intersection	12
3.4 Ray-Circle Intersection	13
3.5 Ray-Triangle Intersection	13
3.5.1 Möller-Trumbore Algorithm	14
4 A Chapter of Examples	17
4.1 A Table	17
4.2 Code	17
4.3 A Sideways Table	18
4.4 A Figure	20

4.5	Bulleted List	20
4.6	Numbered List	20
4.7	A Description	20
4.8	An Equation	21
4.9	A Theorem, Proposition & Proof	21
4.10	Definition	21
4.11	A Remark	21
4.12	An Example	21
4.13	Note	22
A	Convenzioni e Notazioni	23
A.1	Convenzioni	23
A.2	Matrice di Trasformazione	23
B	Library Code	25
B.1	RoadRDF.hh	25
B.2	RoadRDF.cc	32
B.3	PatchTire.hh	40
B.4	PatchTire.cc	57
C	Tests Code	73
C.1	Computational Geometry Tests	73
C.2	Contact Patch Evaluation Tests	73
	Bibliografia	75

Elenco delle figure

3.1	Point-circle intersection problem scheme.	12
3.2	Output schemes of the point-circle intersection problem.	13
3.3	Point-circle intersection algorithm schemes.	14
3.4	Ray-triangle intersection problem scheme.	14
3.5	Transformation and base change of ray in Möller-Trumbore algorithm.	15
3.6	Point-circle intersection algorithm schemes.	16
4.1	telnetd: distribution of the number of other system calls among two execve system calls (i.e., distance between two consecutive execve). .	20

Elenco delle tabelle

2.1	Significato dei valori del modello di Pacejka.	7
4.1	Duality between misuse- and anomaly-based intrusion detection techniques.	17
4.2	Taxonomy of the selected state of the art approaches for network-based anomaly detection.	19

Elenco degli acronimi

ISO International Organization for Standardization	23
CAD Computer-Aided Design	11
CAE Computer-Aided Engineering	11
CAGD Computer-Aided Geometric Design	11
CAM Computer-Aided Manufacturing.	11
GIS Geographic Information Systems	11
ADAS Advanced Driver-Assistance Systems.	2
HIL Hardware in the Loop	2
ETRTO European Tyre and Rim Technical Organisation.	3

1.1 Obiettivi

La motivazione di questa tesi sta nella trovata collaborazione tra il *Dipartimento di Ingegneria Industriale* dell'Università di Trento e *AnteMotion S.r.l.*, azienda specializzata in realtà virtuale e simulazione di veicoli multibody. In particolare il modello di veicolo e pneumatico precedentemente studiati da Larcher in [4] sarà integrato nel simulatore di guida in tempo reale di AnteMotion. Pertanto, lo sviluppo del modello è stato finalizzato a minimizzare i tempi di compilazione massimizzando l'accuratezza del modello. La necessità di sviluppare un algoritmo che calcoli i parametri dell'interazione tra terreno e pneumatico getta le basi per il lavoro svolto.

1.2 Il problema

La *simulazione* risolve alcuni dei problemi relativi al mondo della progettazione in modo sicuro ed efficiente, senza la necessità di costruire un prototipo dell'oggetto fisico. A differenza della modellazione fisica, che può coinvolgere il sistema reale o una copia in scala di esso, la simulazione è basata sulla tecnologia digitale e utilizza algoritmi ed equazioni per rappresentare il mondo reale al fine di imitare l'esperimento reale. Ciò comporta diversi vantaggi in termini di tempo, costi e sicurezza. Infatti, il modello digitale può essere facilmente riconfigurato e analizzato, mentre questo è solitamente impossibile o troppo oneroso dal punto di vista di tempi e costi da fare con il sistema reale [5]. Al giorno d'oggi esistono numerosi modelli di veicolo

e pneumatico, certamente, più semplice è il modello, più veloce è la risoluzione delle equazioni costituenti e, a seconda delle applicazioni, deve essere scelta la giusta complessità per il modello. Per la maggior parte delle applicazioni di guida autonoma, un modello semplice è sufficiente per caratterizzare con un livello di dettaglio sufficiente il comportamento del veicolo, e poiché queste analisi sono molto spesso fatte con l'ausilio di *Hardware in the Loop* (HIL), il modello dinamico del veicolo deve essere risolto in tempo reale con tipico passo di tempo di 1 millisecondo. Il vincolo in tempo reale implica un modello di veicolo di calcolo veloce, ciò significa che i modelli semplici con pochi parametri, di solito modelli lineari a singola traccia, sono particolarmente adatti per questo tipo di applicazioni. Tuttavia ci sono alcune situazioni che richiedono modelli più dettagliati, come ad esempio l'azione prodotta da un *Advanced Driver-Assistance Systems* (ADAS), ovvero una manovra di sicurezza come l'elusione degli ostacoli o una frenata di emergenza, poiché il veicolo è spinto nella maggior parte dei casi al limite delle sue prestazioni [3]. In queste condizioni di guida si devono tenere conto di molti fattori come ad esempio il comportamento degli pneumatici, che si sposta nella regione non lineare e i fenomeni transitori non sono più trascurabili. Ciò significa che un modello più dettagliato di quello utilizzato per la guida in condizioni "standard". L'accuratezza dinamica del modello è di grande importanza per ricavare previsioni realistiche delle prestazioni del veicolo e del sistema di controllo. È importante notare che modellare in modo esaustivo tutti i sistemi di un'auto sarebbe un compito estremamente arduo e a volte anche impossibile. Esistono quindi modelli empirici come il modello della *MagicFormula* di Hans Pacejka e il modello *Fiala* che cercano di imitare il reale comportamento del sistema. Il calcolo dei parametri di questo tipo di modelli richiede l'interpolazione di un set di dati di grandi dimensioni, e può quindi essere numericamente inefficiente o comunque troppo oneroso in termini di tempo.

Per studiare il comportamento del sistema in diversi scenari di guida, i moderni strumenti di simulazione spesso richiedono una grande quantità di dati e l'unico modo per ottenerli è esecuzione stessa di migliaia di simulazioni. A questo proposito è quindi necessario un conducente virtuale o artificiale in grado di controllare il veicolo fino ai limiti di guidabilità. Pertanto, la caratteristica principale di un driver artificiale o virtuale è la capacità di guidare una varietà di veicoli con diverse caratteristiche dinamiche. Indipendentemente dall'architettura e dalla metodologia utilizzata per sviluppare il conducente artificiale, deve utilizzare una sorta di modello dinamico che rappresenta il comportamento del veicolo controllato. Si tratta dunque di una sorta di modello di comportamento dinamico del veicolo.

Lo scopo di questo lavoro si collega a quello già svolto da Larcher in [4], dove grazie

a un modello di veicolo completo con 14 gradi di libertà ha fornito un modello in grado di catturare con un livello di dettaglio appropriato il comportamento del veicolo quando viene spinto ai suoi limiti di maneggevolezza. La necessità di calcolare in tempo reale i parametri di input per il modello di ruota scelto da [4] definisce l'obiettivo di questo lavoro. Ovvero di avere una libreria scritta in C++, che con alcuni semplici parametri in input come la denominazione *European Tyre and Rim Technical Organisation* (ETRTO) dello pneumatico e la posizione nello spazio, calcola i dati relativi all'interazione pneumatico strada quali l'intersezione del punto sotto il centro ruota, l'area di contatto, e l'inclinazione locale del piano strada. Il tutto cercando di minimizzare i tempi di compilazione. [6] [2] [10] [9]

2.1 Una Breve Introduzione

Gli pneumatici sono probabilmente i componenti più complessi di un'auto in quanto combinano decine di componenti che devono essere formati, assemblati e curati insieme. Il loro successo finale dipende dalla loro capacità di fondere tutti i componenti separati in un prodotto coeso che soddisfa le esigenze del conducente [8]. Gli pneumatici sono caratterizzati da un comportamento altamente non lineare con una dipendenza da diversi fattori costruttivi e ambientali. Tuttavia, le forze di contatto possono essere descritte completamente da un vettore di forza risultante applicato in un punto specifico della patch di contatto e da un vettore di coppia, come illustrato nella Figura???. Componenti cruciali per la movimentazione dei veicoli e il comportamento di guida, le forze degli pneumatici richiedono particolare attenzione e cura soprattutto quando, lungo il comportamento stazionario, il comportamento non stazionario deve essere coperto. Attualmente, è possibile identificare tre gruppi di modelli:

- modelli matematici;
- modelli fisici;
- combinazione dei precedenti.

La prima tipologia di modello tenta di rappresentare le caratteristiche fisiche del pneumatico attraverso una descrizione puramente matematica. Pertanto questi tipi di modelli partono da un curve caratteristiche ricavate sperimentalmente e cercano di derivare un comportamento approssimativo dall'interpolazione di dati. Un esem-

pio ben noto di questo approccio è il modello di Pacejka o *Magic Formula Tire Model* [7]. Questo tipo di modellazione è adatta per la simulazione di manovre di guida, dove il comportamento di interesse è per lo più la gestione del veicolo e le frequenze di uscita sono ben al di sotto delle frequenze di risonanza della cintura dello pneumatico. I modelli fisici o i modelli ad alta frequenza, come i modelli agli elementi finiti, sono in grado di rilevare fenomeni di frequenza più elevata come le vibrazioni della membrana. Ciò permette di valutare il comfort di guida di un veicolo. Dal punto di vista del calcolo, i modelli fisici complessi richiedono molto tempo al computer per essere risolto, nonché molti dati. Dall'altro lato, i modelli matematici sono veloci in termini di calcolo, ma richiedono un'accurata pre-elaborazione dei dati sperimentali. La terza tipologia di modelli consiste in un'estensione dei modelli matematici attraverso le leggi fisiche al fine di coprire una gamma di frequenza più ampia. Il modello di pneumatico sviluppato nel modello di veicolo presentato da Larcher in [4] si basa sulla Magic Formula 6.2. Una panoramica generale sui modelli della Magic Formula e sul calcolo dello slip degli pneumatici è descritta nelle sezioni seguenti, mentre l'insieme completo delle equazioni del modello implementato è riportato nell'Appendice. Come vedremo nel Capitolo 3 il modello di pneumatico deve essere combinato con un'interfaccia di pneumatico/strada modellata adeguata per ottenere risultati significativi.

2.2 Il modello Pacejka

Uno dei modelli di pneumatici più utilizzati è il cosiddetto *Magic-Formula Model* sviluppato da Egbert Bakker e Pacejka in [1]. Questo modello è stato poi rivisto e l'ultima versione è riportata in [7]. Il Magic-Formula Model consiste in una pura descrizione matematica del rapporto input-output del contatto pneumatico-strada. Questa formulazione collega le variabili di forza con lo slip rigido del corpo che vengono trattati nelle sezioni successive. La forma generale della funzione di descrizione può essere scritta come:

$$y(x) = D \sin\{C \arctan[B(x + S_h) - E(B(x + S_h) - \arctan(B(x + S_h)))]\} + S_v \quad (2.1)$$

<i>Parametri</i>	SIGNIFICATO
B	Fattore di rigidezza
C	Fattore di forma
D	Valore massimo della forza o coppia
E	Fattore di curvatura
S_v	Spostamento in verticale della curva caratteristica
S_h	Spostamento in orizzontale della curva caratteristica

Tabella 2.1: Significato dei valori del modello di Pacejka.

2.3 Standardizzazione ETRTO

2.4 Contatto con la Superficie Stradale

La posizione e l'orientamento della ruota in relazione al sistema fissato a terra sono dati dal telaio di riferimento del vettore ruota RF_{wh_i} che viene calcolato risolvendo le equazioni dinamiche del sistema ottenuto nel Capitolo 2 in [4] istante per istante. Supponendo che il profilo stradale potrebbe essere rappresentato da una funzione arbitraria di due coordinate spaziali

$$z = z(x, y) \quad (2.2)$$

su una irregolare, il punto di contatto P non può essere calcolato direttamente. Così, come prima approssimazione siamo in grado di identificare un punto P , che è definito come una semplice traslazione del centro ruota M :

$$P^* = M - R_0 \mathbf{e}_{zC} \begin{bmatrix} x^* \\ y^* \\ z^* \end{bmatrix} \quad (2.3)$$

dove R_0 è il raggio dello pneumatico indeformato e \mathbf{e}_{zC} è il vettore unitario che definisce l'asse z_c del sistema di riferimento del vettore ruota.

La prima stima del sistema di riferimento del punto di contatto RF_{PC^*} è un frame con origine in P^* e orientamento dell'asse definito dall'orientamento dell'asse del sistema portante della ruota.

$$RF_{PC^*} = \left[\begin{array}{ccc|c} [R_{RF_{wh}}] & x^* \\ & y^* \\ & z^* \\ \hline 0 & 0 & 0 & 1 \end{array} \right] \quad (2.4)$$

Ora, i vettori di unità e_x ed e_y , che descrivono il piano locale nel punto P , possono essere ottenuti dalle seguenti equazioni:

$$e_x = \frac{e_{yC} \times e_n}{|e_{yC} \times e_n|} \quad e_y = e_n \times e_x \quad (2.5)$$

Al fine di ottenere una buona approssimazione del piano pista locale in termini di inclinazione longitudinale e laterale, sono stati utilizzati un insieme di quattro punti di campionamento ($Q_1^*, Q_2^*, Q_3^*, Q_4^*$) che sono rappresentati graficamente in Figura???. I punti di campionamento sono definiti sul piano locale del punto di contatto RF_{PC^*} , poiché lo spostamento longitudinale e laterale dall'origine del sistema, che è P^* . I vettori di spostamento sono definiti come:

$$\begin{aligned} {}^{PC^*}r_{Q_{1,2}^*} &= \pm \Delta x \\ {}^{PC^*}r_{Q_{3,4}^*} &= \pm \Delta y \end{aligned} \quad (2.6)$$

e quindi, i quattro punti di campionamento sono:

$$\begin{aligned} {}^{P^*}r_{Q_{1,2}^*} &= P^* \pm \Delta x e_{xPC^*} \\ {}^{P^*}r_{Q_{3,4}^*} &= P^* \pm \Delta y e_{yPC^*} \end{aligned} \quad (2.7)$$

Al fine di campionare la patch di contatto nel modo più efficiente possibile, le distanze di Δx e Δy , dell'equazione precedente, vengono regolate in base al raggio del pneumatico indeformato R_0 e alla larghezza del pneumatico B . I valori di queste due quantità possono essere trovate in letteratura e sono $\Delta x = 0.1R_0$ e $\Delta x = 0.3B$. Attraverso questa definizione, si può ottenere un comportamento realistico durante la simulazione. Ora il componente traccia z in corrispondenza dei quattro punti campione viene valutato attraverso la funzione $z(x, y)$ (Eq. 3.1), quindi, aggiornando la terza coordinata dei punti di sondaggio Q_i^* , otteniamo i corrispondenti punti campione Q_i sulla superficie della pista locale. La linea fissata dai punti Q_1, Q_2 e rispettivamente Q_3, Q_4 , può ora essere utilizzata per definire il vettore normale del piano della pista locale (Figura??). Pertanto, il vettore normale è definito come:

$$e_n = \frac{r_{Q_1Q_2} \times r_{Q_4Q_3}}{|r_{Q_1Q_2} \times r_{Q_4Q_3}|} \quad (2.8)$$

dove sono $r_{Q_2Q_1}$ e $r_{Q_4Q_3}$ sono i vettori che puntano rispettivamente da Q_1 a Q_2 e da Q_3 a Q_4 . Applicando Eq 3.4 è ora possibile calcolare i vettori unitari e_x e e_y del piano di locale del punto di contatto. Il punto di contatto P si ottiene aggiornando

le coordinate del primo punto di prova P^* , con il valore medio delle tre coordinate spaziali dei quattro punti campione.

$$P = \frac{1}{4} \begin{bmatrix} \sum_{i=1}^4 x_i \\ \sum_{i=1}^4 y_i \\ \sum_{i=1}^4 z_i \end{bmatrix} \quad (2.9)$$

Infine possiamo mettere assieme tutte le componenti del piano di riferimento del punto di contatto finale ottenendo:

$$RF_{PC} = \left[\begin{array}{ccc|c} [e_x] & [e_y] & [e_z] & x_P \\ & & & y_P \\ & & & z_P \\ \hline 0 & 0 & 0 & 1 \end{array} \right] \quad (2.10)$$

Attraverso questo approccio di modellazione, le informazioni della traccia locale normal vector e_n , insieme al punto di contatto locale P sono in grado di rappresentare l'irregolarità locale in modo soddisfacente. Come accade in realtà, bordi taglienti o discontinuità del manto stradale saranno smussate da questo approccio. Alcuni casi dimostrativi sono illustrati nella Figura??.

3.1 A Brief Introduction

Computational geometry is a branch of *computer science* devoted to the study of algorithms which can be expressed in other forms of geometry. Historically, it is considered one of the oldest fields in computing, although modern computational geometry is a recent development. The main reason for the development of computational geometry has been due to progress made in computer graphics, *Computer-Aided Design* (CAD), *Computer-Aided Manufacturing* (CAM) and mathematical visualization. Applications of computational geometry can be found in robotics, integrated circuit design, computer vision, *Computer-Aided Engineering* (CAE) and *Geographic Information Systems* (GIS).

The main branches of computational geometry are:

- *Combinatorial computational* (or *algorithmic geometry*), which deals with geometric objects as discrete entities. For example, it can be used to determine the smallest polyhedron or polygon that contains all points that are given (convex hull problem) or the closest point to a query point from a set of points (nearest neighbor problem).
- *Numerical computational geometry* (or *machine geometry*, or *Computer-Aided Geometric Design* (CAGD)), which deals mainly with representing real world objects in forms suitable for computer computations in CAD and CAM systems. This branch may be seen as a development of descriptive geometry and is often considered a branch of computer graphics or CAD. For example, im-

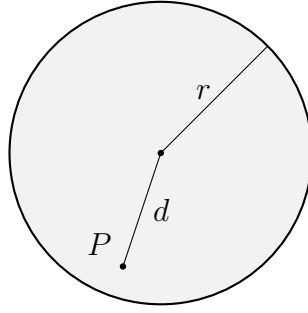


FIGURA 3.1: Point-circle intersection problem scheme.

portant portions here are parametric surfaces and curves, such as *spline curves* and *Bezier curves*.

In this chapter all algorithms which will be used later during the geometrical analysis of the mesh-tire intersection are explained in depth. These algorithms are the solution of some simple but very important problems which must be solved efficiently. In particular the intersections between:

- point and segment;
- point and circle;
- ray and circle;
- ray and triangle;

will be explored in order to find the best way in terms of *computational efficiency* to solve the specific geometrical problem.

3.2 Point-Segment Intersection

3.3 Point-Circle Intersection

Having a circle with center $C = (x_c, y_c)$ and radius r , the problem consists in finding out whether a query point $P = (x_p, y_p)$ is inside, outside or on the circle. The solution to the problem is simple: the distance between the circle center C and the query point P is given by the *Pythagorean theorem* as

$$d = \sqrt{(x_p - x_c)^2 + (y_p - y_c)^2} \quad (3.1)$$

The query point P is *inside* the circle if $d < r$, on the circle if $d = r$, and *outside* the circle if $d > r$. Little work can be saved by comparing d^2 with r^2 instead: the point

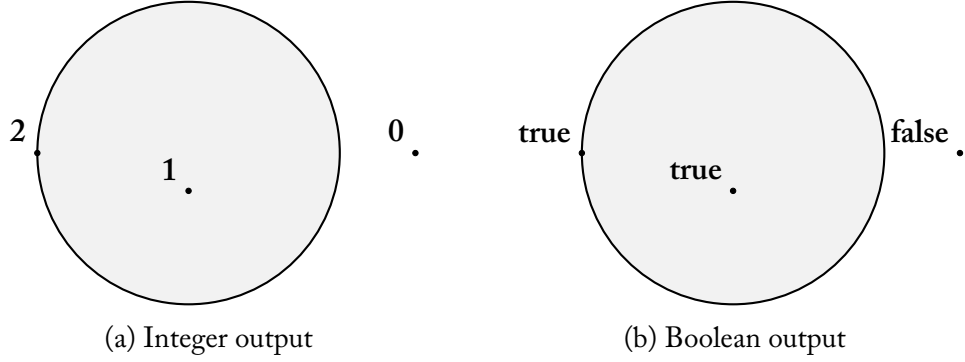


FIGURA 3.2: Output schemes of the point-circle intersection problem.

P is *inside* the circle if $d^2 < r^2$, on the circle if $d^2 = r^2$, and *outside* the circle if $d^2 > r^2$. Thus, the final comparison will be between the number $(x_p - x_c)^2 + (y_p - y_c)^2$ and r^2 .

The *inputs* of the point-circle intersection algorithm are:

- the circle center $C = (x_c, y_c)$;
- the circle radius r ;
- a query point $P = (x_p, y_p)$.

The *output* could be an integer which value is:

- 0 if the point is outside;
- 1 if the point is inside;
- 2 if the point is on the circle.

Another option could be a boolean which value is:

- false if the point is outside;
- true if the point is inside or on the circle.

On Figura 3.3 the schemes for the point-circle intersection algorithm with integer and boolean outputs are reported.

3.4 Ray-Circle Intersection

3.5 Ray-Triangle Intersection

Having a triangle with vertices (V_1, V_2, V_3) and a ray R with origin R_O and direction R_D , the problem consists in finding out whether the ray hits or not the triangle

With integer output

```

 $d = (x_p - x_c)^2 + (y_p - y_c)^2$ 
if ( $d > r^2$ ) {
    return 0
} else if ( $d < r^2$ ) {
    return 1
} else {
    //  $d = r^2$ 
    return 2
}

```

With boolean output

```

 $d = (x_p - x_c)^2 + (y_p - y_c)^2$ 
if ( $d > r^2$ ) {
    return false
} else {
    //  $d \leq r^2$ 
    return true
}

```

FIGURA 3.3: Point-circle intersection algorithm schemes.

and if so, where is the intersection point P . Over the last decades, plenty of algo-

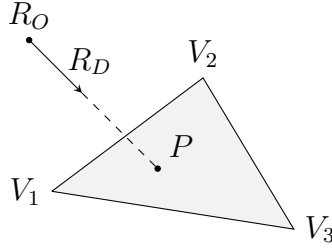


FIGURA 3.4: Ray-triangle intersection problem scheme.

rithms for solving this problem had been purposed, so there are several solutions to the ray/triangle or ray-triangle intersection problem. Three of the most relevant algorithms are:

- *Badouel* algorithm;
- *Segura* algorithm;
- *Möller-Trumbore* algorithm.

As Jiménez, Segura e Feito states in [2], the Möller-Trumbore's is the faster algorithm when the normal and/or the projection plane have not been previously stored, as in this thesis.

3.5.1 Möller-Trumbore Algorithm

The inputs of the Möller-Trumbore algorithm are:

- Triangle vertices (V_1, V_2, V_3);

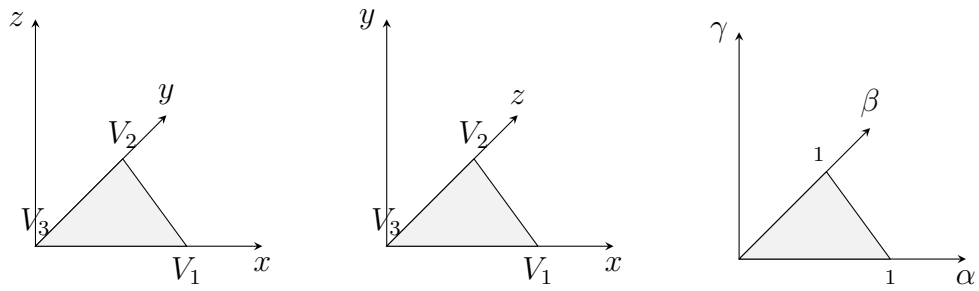


FIGURA 3.5: Transformation and base change of ray in Möller-Trumbore algorithm.

- Segment points (Q_1, Q_2) .

With back-face culling

```

 $Q = Q_2 - Q_1$ 
 $E_1 = V_2 - V_1$ 
 $E_2 = V_3 - V_1$ 
 $A = Q \times E_2$ 
 $D = A \cdot E_1$ 
if ( $D > \varepsilon$ ) {
     $T = Q_1 - V_1$ 
     $u = A \cdot T$ 
    if ( $u < 0.0 \parallel u > D$ ) {
        return false
    }
     $B = T \times E_1$ 
     $v = B \cdot Q$ 
    if ( $v < 0.0 \parallel u + v > D$ ) {
        return false
    }
} else if ( $D < -\varepsilon$ ) {
     $T = Q_1 - V_1$ 
     $u = A \cdot T$ 
    if ( $u > 0.0 \parallel u < D$ ) {
        return false
    }
     $B = T \times E_1$ 
     $v = B \cdot Q$ 
    if ( $v > 0.0 \parallel u + v < D$ ) {
        return false
    }
} else {
    return false
}
 $D_{inv} = 1.0/D$ 
 $t = (B \cdot E_2) * D_{inv}$ 
if ( $t > 0.0$ ) {
     $P = Q + D * t$ 
    return true
} else {
    return false
}

```

Without back-face culling

```

 $Q = Q_2 - Q_1$ 
 $E_1 = V_2 - V_1$ 
 $E_2 = V_3 - V_1$ 
 $A = Q \times E_2$ 
 $D = A \cdot E_1$ 
if ( $D < \varepsilon$ ) {
    return false
}
 $T = Q_1 - V_1$ 
 $u = A \cdot T$ 
if ( $u < 0.0 \parallel u > D$ ) {
    return false
}
 $B = T \times E_1$ 
 $v = B \cdot Q$ 
if ( $v < 0.0 \parallel u + v > D$ ) {
    return false
}
 $D_{inv} = 1.0/D$ 
 $t = (B \cdot E_2) * D_{inv}$ 
if ( $t > 0.0$ ) {
     $P = Q + D * t$ 
    return true
} else {
    return false
}

```

FIGURA 3.6: Point-circle intersection algorithm schemes.

4.1 A Table

<i>Feature</i>	MISUSE-BASED	ANOMALY-BASED
Modeled activity:	Malicious	Normal
Detection method:	Matching	Deviation
Threats detected:	Known	Any
False negatives:	High	Low
False positives:	Low	High
Maintenance cost:	High	Low
Attack desc.:	Accurate	Absent
System design:	Easy	Difficult

Tabella 4.1: Duality between misuse- and anomaly-based intrusion detection techniques. Note that, an anomaly-based CAMs can detect “Any” threat, under the assumption that an attack always generates a deviation in the modeled activity.

4.2 Code

```

1  /* ... */ cd['<'] = {0.1, 0.11} cd['a'] = {0.01, 0.2} cd['b'] =
2  {0.13, 0.23} /* ... */
3
4  b = decode(arg3_value);
5

```

```
6  if ( !(cd['c'][0] < count('c', b) < cd['c'][1]) ||\
7      !(cd['<'][0] < count('<', b) < cd['<'][1]) ||\
8      ... || ...)  fire_alert("Anomalous content detected!");
9  /* ... */
```

4.3 A Sideways Table

APPROACH	TIME	HEADER	PAYLOAD	STOCHASTIC	DETERM.	CLUSTERING
[phad]		•				•
[kruegel:sac2002:anomaly]		•	•	•		
[protocolanom]		•		•	•	
[ramadas]			•			•
[rules-payl]	•		•		•	
[zanero-savaresi]		•	•			•
[wang:raid2004:payl]			•	•		
[zanero-pattern]		•	•			•
[DBLP:conf/iwia/BolzoniEHZ06]		•	•			•
[wang:raid2006:anagram]			•	•		

Tabella 4.2: Taxonomy of the selected state of the art approaches for network-based anomaly detection.

4.4 A Figure

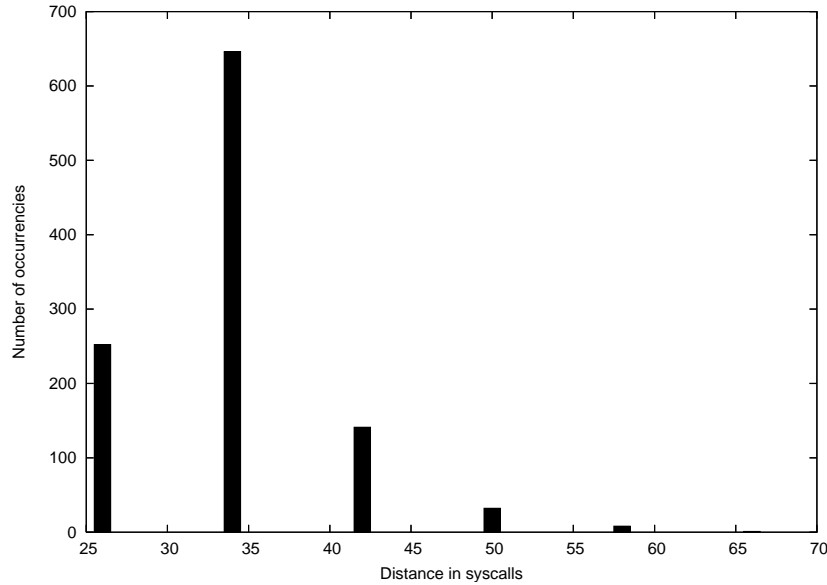


FIGURA 4.1: `telnetd`: distribution of the number of other system calls among two `execve` system calls (i.e., distance between two consecutive `execve`).

4.5 Bulleted List

- O = “Intrusion”, $\neg O$ = “Non-intrusion”;
- A = “Alert reported”, $\neg A$ = “No alert reported”.

4.6 Numbered List

1. O = “Intrusion”, $\neg O$ = “Non-intrusion”;
2. A = “Alert reported”, $\neg A$ = “No alert reported”.

4.7 A Description

Time refers to the use of *timestamp* information, extracted from network packets, to model normal packets. For example, normal packets may be modeled by their minimum and maximum inter-arrival time.

4.8 An Equation

$$d_a(i, j) := \begin{cases} K_a + \alpha_a \delta_a(i, j) & \text{if the elements are different} \\ 0 & \text{otherwise} \end{cases} \quad (4.1)$$

4.9 A Theorem, Proposition & Proof

Theorem 4.9.1 $a^2 + b^2 = c^2$

Proposition 4.9.2 $3 + 3 = 6$

Proof 4.9.1 *For any finite set $\{p_1, p_2, \dots, p_n\}$ of primes, consider $m = p_1 p_2 \dots p_n + 1$. If m is prime it is not in the set since $m > p_i$ for all i . If m is not prime it has a prime divisor p . If p is one of the p_i then p is a divisor of $p_1 p_2 \dots p_n$ and hence is a divisor of $(m - p_1 p_2 \dots p_n) = 1$, which is impossible; so p is not in the set. Hence a finite set $\{p_1, p_2, \dots, p_n\}$ cannot be the collection of all primes.*

4.10 Definition

Definition 4.10.1 (Anomaly-based CAM) *An anomaly-based CAM is a type of CAM that generate alerts \mathbb{A} by relying on normal activity profiles.*

4.11 A Remark

Remark 1 *Although the network stack implementation may vary from system to system (e.g., Windows and Cisco platforms have different implementation of CAM).*

4.12 An Example

Example 4.12.1 (Misuse vs. Anomaly) *A misuse-based system M and an anomaly-based system A process the same log containing a full dump of the system calls invoked by the kernel of an audited machine. Log entries are in the form:*

`<function_name>(<arg1_value>, <arg2_value>, ...)`

4.13 Note

Note 4.13.1 (Inspection layer) *Although the network stack implementation may vary from system to system (e.g., Windows and Cisco platforms have different implementation of CAM), it is important to underline that the notion of IP, TCP, HTTP packet is well defined in a system-agnostic way, while the notion of operating system activity is rather vague and by no means standardized.*

A.1 Convenzioni

La convenzione utilizzata per definire gli assi del sistema di riferimento dello pneumatico è la *International Organization for Standardization* (ISO) 8855.

A.2 Matrice di Trasformazione

Per descrivere sia l'orientamento che la posizione di un sistema di assi nello spazio, viene introdotta la *matrice roto-traslazione*, chiamata anche *matrice di trasformazione*. Questa notazione permette di impiegare le operazioni matrice-vettore per l'analisi di posizione, velocità e accelerazione. La forma generale di una matrice di trasformazione è del tipo:

$$T_m = \left[\begin{array}{c|c} [R_m] & \begin{matrix} O_{mx} \\ O_{my} \\ O_{mz} \end{matrix} \\ \hline 0 & 1 \end{array} \right] \quad (\text{A.1})$$

dove R_m è la matrice di rotazione 3×3 del sistema di riferimento in movimento e O_{mx} , O_{my} e O_{mz} sono le coordinate della sua origine nel sistema di riferimento assoluto o nativo. L'introduzione dell'elemento fittizio 1 nel vettore della posizione di origine e la successiva spaziatura interna zero della matrice rende possibili le moltiplicazioni matrice-vettore, rendendo la matrice di trasformazione un modo

compatto e conveniente per la descrizione dei sistemi di riferimento. Si noti che per i vettori, le informazioni traslazionali vengono trascurate imponendo l'elemento fittizio pari a 0.

B.1 RoadRDF.hh

```
1 ///
2 /// file: MeshRDF.hh
3 ///
4
5 #pragma once
6 #include <AABBtree.hh>
7 #include <Eigen/Dense> // Eigen linear algebra Library
8 #include <cmath>       // Math.h - STD math Library
9 #include <fstream>      // fStream - STD File I/O Library
10 #include <iostream>     // Iostream - STD I/O Library
11 #include <string>       // String - STD String Library
12 #include <vector>       // Vector - STD Vector/Array Library
13 #include <memory>
14
15 // Print progress to console while loading (large models)
16 #define RDF_CONSOLE_OUTPUT
17
18 #ifndef RDF_ERROR
19     #define RDF_ERROR(MSG) { \
20         std::ostringstream ost; ost << MSG; \
21         throw std::runtime_error( ost.str() ); \
22     }
```

```
23 #endif
24
25 #ifndef RDF_ASSERT
26 #define RDF_ASSERT(COND,MSG) \
27     if ( !(COND) ) RDF_ERROR( MSG )
28 #endif
29
30 //! RDF mesh computations routine
31 namespace RDF {
32
33     typedef double real_type;  //!< Real number type
34     typedef int     int_type;  //!< Integer number type
35
36     typedef Eigen::Vector2d vec2;  //!< 2D vector type
37     typedef Eigen::Vector3d vec3;  //!< 3D vector type
38     typedef Eigen::Matrix3d mat3;  //!< 3x3 matrix type
39
40     typedef std::basic_ostream<char> ostream_type;  //!< Output
        stream type
41
42     //! Class that handle triangle bounding box
43     class BBox3D {
44     private:
45         real_type Xmin;  //!< Xmin shadow domain point
46         real_type Ymin;  //!< Ymin shadow domain point
47         real_type Xmax;  //!< Xmax shadow domain point
48         real_type Ymax;  //!< Ymax shadow domain point
49
50     public:
51
52         //! Default constructor for orientation object.
53         BBox3D() {}
54
55         //! Variable set constructor for Bounding box object.
56         BBox3D( vec3 const Vertices[3] ) {
57             updateBBox3D( Vertices );
58         }
59
60         //! Set Xmin shadow domain point.
```

```

61     void setXmin(real_type _Xmin) { Xmin = _Xmin; }
62
63     //! Set Ymin shadow domain point.
64     void setYmin(real_type _Ymin) { Ymin = _Ymin; }
65
66     //! Set Xmax shadow domain point.
67     void setXmax(real_type _Xmax) { Xmax = _Xmax; }
68
69     //! Set Ymax shadow domain point.
70     void setYmax(real_type _Ymax) { Ymax = _Ymax; }
71
72     //! Get Xmin shadow domain point.
73     real_type getXmin() const { return Xmin; }
74
75     //! Get Ymin shadow domain point.
76     real_type getYmin() const { return Ymin; }
77
78     //! Get Xmax shadow domain point.
79     real_type getXmax() const { return Xmax; }
80
81     //! Get Ymax shadow domain point.
82     real_type getYmax() const { return Ymax; }
83
84     //! Clear the bounding box domain.
85     void clear(void);
86
87     //! Print bounding box vertices.
88     void
89     print(ostream_type & stream) const {
90         stream
91             << "BBOX (xmin,ymin,xmax,ymax) = ( " << Xmin << ", " <<
                Ymin
92             << ", " << Xmax << ", " << Ymax << " )\n";
93     }
94
95     //! Update the bounding box domain with multiple input
        triangles object.
96     void
97     updateBBox3D( vec3 const Vertices[3] );

```

```
98  };
99
100  //! Class for handling triangles
101  class Triangle3D {
102  private:
103      vec3      Vertices[3];  //!< Vertices vector
104      real_type Friction;     //!< Face friction coefficient
105      BBox3D    TriangleBBox; //!< Triangle bounding box
106
107  public:
108
109      //! Default constructor for orientation object.
110      Triangle3D() {}
111
112      //! Variable set constructor for orientation object.
113      Triangle3D( vec3 const _Vertices[3], real_type _Friction ) {
114          Vertices[0] = _Vertices[0];
115          Vertices[1] = _Vertices[1];
116          Vertices[2] = _Vertices[2];
117          Friction    = _Friction;
118          TriangleBBox.updateBBox3D(Vertices);
119      }
120
121      //! Get triangle face normal versor.
122      vec3
123      Normal(void) const {
124          vec3 d1 = Vertices[1] - Vertices[0];
125          vec3 d2 = Vertices[2] - Vertices[0];
126          return d1.cross(d2).normalized();
127      }
128
129      //! Set vertices vector and update bounding box domain.
130      void
131      setVertices( vec3 const _Vertices[3] ) {
132          Vertices[0] = _Vertices[0];
133          Vertices[1] = _Vertices[1];
134          Vertices[2] = _Vertices[2];
135          TriangleBBox.updateBBox3D(Vertices);
136      }
```

```
137
138     //! Set friction.
139     void
140     setFriction( real_type _Friction ) { Friction = _Friction; }
141
142     //! Get i-th vertex.
143     vec3 const &
144     getithVertex( unsigned i ) const
145     { return Vertices[i]; }
146
147     //! Get friction coefficient on the face.
148     real_type
149     getFriction(void) const
150     { return Friction; }
151
152     //! Get triangle bonding box.
153     BBox3D const &
154     getBBox(void) const
155     { return TriangleBBox; }
156
157     //! Print vertices information.
158     void
159     print( ostream_type & stream ) const {
160         stream
161             << "V1:\t" << Vertices[0] << '\n'
162             << "V2:\t" << Vertices[1] << '\n'
163             << "V3:\t" << Vertices[2] << std::endl;
164     }
165 };
166
167 typedef std::vector<Triangle3D> Triangle3D_list;
168
169 //! Algorithms for RDF mesh computations routine
170 namespace algorithms {
171
172     //! Split a string into a string array at a given token.
173     void
174     split(
175         std::string const      & in,      //!< Input string
```

```
176     std::vector<std::string> & out,    //!< Output string vector
177     std::string const        & token  //!< Token
178 );
179
180     //!< Get tail of string after first token and possibly
        following spaces.
181     std::string
182     tail( std::string const & in );
183
184     //!< Get first token of string.
185     std::string
186     firstToken( std::string const & in );
187
188     //!< Get element at given index position.
189     template<typename T>
190     T const &
191     getElement(
192         std::vector<T> const & elements,    //!< Elements vector
193         std::string const & index          //!< Index position
194     );
195 } // namespace algorithms
196
197     //!< Class for handlinf mesh surface object
198     class MeshSurface {
199     private:
200         std::vector<std::shared_ptr<Triangle3D> > PtrTriangleVec;
                //!< Triangles vector list
201         std::vector<G2lib::BBox::PtrBBox>          PtrBBoxVec;
                //!< Bounding boxes pointers
202         G2lib::AABBtree::PtrAABB PtrTree = std::make_shared<G2lib::
                AABBtree>(); //!< Mesh tree pointer
203
204         MeshSurface( MeshSurface const & ) = delete; // costruttore
                di copia
205         MeshSurface & operator = ( MeshSurface const & ) = delete; //
                operatore di copia
206
207     public:
208         // Default set constructor for mesh object.
```

```
209     MeshSurface() {};  
210  
211     // Variable set constructor for mesh object.  
212     MeshSurface( std::string const & Path ){  
213         bool load = LoadFile(Path);  
214         RDF_ASSERT( load, "Error while reading file" );  
215         updatePtrBBox();  
216         PtrTree->build(PtrBBoxVec);  
217     }  
218  
219     //! Get all triangles inside the mesh as a vector.  
220     std::vector<std::shared_ptr<Triangle3D> >  
221     getTrianglesPtr(void)  
222     { return PtrTriangleVec; }  
223  
224     //! Get i-th triangle.  
225     std::shared_ptr<Triangle3D>  
226     ithTrianglePtr( unsigned i )  
227     { return PtrTriangleVec[i]; }  
228  
229     //! Get AABB tree.  
230     G2lib::AABBtree::PtrAABB  
231     getAABBPtr(void)  
232     { return PtrTree; }  
233  
234     //! Print data in file.  
235     void  
236     printData( std::string const & FileName );  
237  
238     //! Get the mesh G2lib bounding boxes pointers vector.  
239     std::vector<G2lib::BBox::PtrBBox> const &  
240     getPtrBBox() const  
241     { return PtrBBoxVec; }  
242  
243     void  
244     set( MeshSurface const & in ) {  
245         this->PtrTriangleVec = in.PtrTriangleVec;  
246         this->PtrBBoxVec      = in.PtrBBoxVec;  
247         this->PtrBBoxVec      = in.PtrBBoxVec;
```

```
248     }
249
250     //! Load the RDF model and print information on a file.
251     //! If RDF model is properly loaded true value is returned
252     bool
253     LoadFile( std::string const & Path );
254
255 private:
256     //! Update the mesh G2lib bounding boxes pointers vector.
257     void updatePtrBBBox(void);
258
259     // Generate vertices from a list of positions face line.
260     void
261     GenVerticesFromRawRDF(
262         std::vector<vec3> const & iNodes,
263         std::string          const & icurline,
264         vec3                  oVerts[3]
265     );
266 };
267
268 } // namespace RDF
269
270 ///
271 /// eof: MeshRDF.hh
272 ///
```

B.2 RoadRDF.cc

```
1#include "RoadRDF.hh" // RDF file extention Loader
2
3
4//! RDF mesh computations routine
5namespace RDF {
6
7    // - - - - -
8    // class BBox3D
9    // - - - - -
10}
```

```

10
11 void
12 BBox3D::clear(void) {
13     Xmin = std::numeric_limits<real_type>::quiet_NaN();
14     Ymin = std::numeric_limits<real_type>::quiet_NaN();
15     Xmax = std::numeric_limits<real_type>::quiet_NaN();
16     Ymax = std::numeric_limits<real_type>::quiet_NaN();
17 }
18
19 //! Update the bounding box domain with multiple input
    triangles object
20 void
21 BBox3D::updateBBox3D( vec3 const Vertices[3] ) {
22     G2lib::minmax3( Vertices[0][0], Vertices[1][0], Vertices
        [2][0], Xmin, Xmax );
23     G2lib::minmax3( Vertices[0][1], Vertices[1][1], Vertices
        [2][1], Ymin, Ymax );
24 }
25
26 // - - - - -
    - - - - -
27 // class MeshSurface
28 // - - - - -
    - - - - -
29
30 //! Print data in file
31 void
32 MeshSurface::printData( std::string const & FileName ) {
33     // Create/Open Out.txt
34     std::ofstream file(FileName);
35
36     file
37         // Print Vertices
38         << "LOADED RDF MESH DATA\n\n"
39         // Print Legend
40         << "Legend:\n"
41         << "\tVi: i-th vertex\n"
42         << "\t N: normal to the face\n"
43         << "\t F: friction coefficient\n\n";

```

```
44
45     for ( unsigned i = 0; i < PtrTriangleVec.size(); ++i ) {
46         Triangle3D const & Ti = *PtrTriangleVec[i];
47         vec3 const & V0 = Ti.getithVertex(0);
48         vec3 const & V1 = Ti.getithVertex(1);
49         vec3 const & V2 = Ti.getithVertex(2);
50         vec3          N = Ti.Normal();
51         // Print Vertices and Friction
52         file
53             << "TRIANGLE " << i
54             << "\n\tV0:\t" << V0[0] << ", " << V0[1] << ", " << V0[2]
55             << "\n\tV1:\t" << V1[0] << ", " << V1[1] << ", " << V1[2]
56             << "\n\tV2:\t" << V2[0] << ", " << V2[1] << ", " << V2[2]
57             << "\n\t N:\t" << N[0]  << ", " << N[1]  << ", " << N[2]
58             << "\n\t F:\t" << Ti.getFriction()
59             << "\n\n";
60     }
61     // Close File
62     file.close();
63 }
64
65 //! Update the mesh G2lib bounding boxes pointers vector
66 void MeshSurface::updatePtrBBox(void) {
67     PtrBBoxVec.clear();
68     RDF::BBox3D iBBox;
69     for (unsigned id = 0; id < PtrTriangleVec.size(); ++id) {
70         iBBox = (*PtrTriangleVec[id]).getBBox();
71         PtrBBoxVec.push_back(G2lib::BBox::PtrBBox(
72             new G2lib::BBox(iBBox.getXmin(), iBBox.getYmin(), iBBox
73                             .getXmax(),
74                             iBBox.getYmax(), id, 0)));
75         iBBox.clear();
76     }
77 }
78 // - - - - -
79 // namespace algorithms
80 // - - - - -
```



```

- - - - -
81
82  //! Holds all of the algorithms needed for the mesh processing
83  namespace algorithms {
84
85      //! Split a string into a string array at a given token
86      void
87      split(
88          std::string const      & in,      //!< Input string
89          std::vector<std::string> & out,    //!< Output string vector
90          std::string const      & token   //!< Token
91      ) {
92          out.clear();
93
94          std::string temp;
95
96          for ( int i = 0; i < int(in.size()); ++i ) {
97              std::string test = in.substr(i, token.size());
98              if (test == token) {
99                  if (!temp.empty()) {
100                      out.push_back(temp);
101                      temp.clear();
102                      i += (int)token.size() - 1;
103                  } else {
104                      out.push_back("");
105                  }
106              } else if (i + token.size() >= in.size()) {
107                  temp += in.substr(i, token.size());
108                  out.push_back(temp);
109                  break;
110              } else {
111                  temp += in[i];
112              }
113          }
114      }
115
116      //! Get tail of string after first token and possibly
117          following spaces
118      std::string

```

```
118     tail(std::string const & in ) {
119         size_t token_start = in.find_first_not_of(" \t");
120         size_t space_start = in.find_first_of(" \t", token_start);
121         size_t tail_start  = in.find_first_not_of(" \t",
122             space_start);
123         size_t tail_end    = in.find_last_not_of(" \t");
124         if (tail_start != std::string::npos && tail_end != std::
125             string::npos) {
126             return in.substr(tail_start, tail_end - tail_start + 1);
127         } else if (tail_start != std::string::npos) {
128             return in.substr(tail_start);
129         }
130     }
131     return "";
132 }
133
134 //! Get first token of string
135 std::string
136 firstToken( std::string const & in ) {
137     if (!in.empty()) {
138         size_t token_start = in.find_first_not_of(" \t\r\n");
139         if (token_start != std::string::npos) {
140             size_t token_end = in.find_first_of(" \t\r\n",
141                 token_start);
142             if (token_end != std::string::npos) {
143                 return in.substr(token_start, token_end - token_start
144                     );
145             } else {
146                 return in.substr(token_start);
147             }
148         }
149     }
150     return "";
151 }
152
153 //! Get element at given index position
154 template<typename T>
155 T const &
156 getElement(
157     std::vector<T> const & elements,  //!< Elements vector
```

```

153     std::string      const & index          //!< Index position
154 ) {
155     // std::cout << "Index: " << index << std::endl;
156     int_type id = std::stoi(index);
157
158     if ( id < 0 ) perror("ELEMENTS indexes cannot be negative")
159         ;
160
161     return elements[id - 1];
162 }
163 } // namespace algorithms
164
165 // - - - - -
166 // class Loader
167 // - - - - -
168
169 //!< Load the RDF model and print information on a file
170 bool
171 MeshSurface::LoadFile( std::string const & Path ) {
172     // Check if the file is an ".rdf" file, if not return false
173     if (Path.substr(Path.size() - 4, 4) != ".rdf") {
174         perror("Not a .rdf file");
175         return false;
176     }
177
178     // Check if the file had been correctly open, if not return
179     false
180     std::ifstream file(Path);
181     if (!file.is_open()) {
182         perror("File not opened");
183         return false;
184     }
185
186     // Vector for nodes coordinates
187     std::vector<vec3> Nodes;

```

```
188     bool nodes_parse      = false;
189     bool elements_parse = false;
190
191 #ifdef RDF_CONSOLE_OUTPUT
192     int_type const outputEveryNth = 5000;
193     int_type outputIndicator      = outputEveryNth;
194 #endif
195
196     std::string curline;
197     while (std::getline(file, curline)) {
198 #ifdef RDF_CONSOLE_OUTPUT
199         if ((outputIndicator = ((outputIndicator + 1) %
200             outputEveryNth)) == 1) {
201             std::cout
202                 << "\r- "
203                 << "Loading mesh..."
204                 << "\t triangles > "
205                 << PtrTriangleVec.size() << std::endl;
206 #endif
207
208         std::string token = algorithms::firstToken(curline);
209         if ( token == "[NODES]" || token == "NODES" ) {
210             nodes_parse      = true;
211             elements_parse = false;
212
213             continue;
214         } else if (token == "[ELEMENTS]" || token == "ELEMENTS") {
215             nodes_parse      = false;
216             elements_parse = true;
217             continue;
218         } else if (token[0] == '{') {
219             // commento multiriga, continua a leggere fino a che
220             // trovo '}'
221             continue;
222         } else if (token[0] == '%' || token[0] == '#' || token[0]
223             == '\\r') {
224             // Check comments or empty lines
225             continue;
226         }
227     }
```

```

224     }
225
226     // Generate a Vertex Position
227     if (nodes_parse) {
228         std::vector<std::string> spos;
229         vec3 vpos;
230
231         algorithms::split(algorithms::tail(curline), spos, " ");
232
233         vpos[0] = std::stod(spos[0]);
234         vpos[1] = std::stod(spos[1]);
235         vpos[2] = std::stod(spos[2]);
236
237         Nodes.push_back(vpos);
238     }
239
240     // Generate a Face (vertices & indices)
241     if (elements_parse) {
242         // Generate the triangle vertices from the elements
243         vec3 iVerts[3];
244         GenVerticesFromRawRDF( Nodes, curline, iVerts );
245
246         // Get the triangle friction from current line
247         std::vector<std::string> curlinevec;
248         algorithms::split(curline, curlinevec, " ");
249         real_type iFriction = std::stod(curlinevec[4]);
250
251         // Create a shared pointer for the last triangle and push
252         // it in the pointer vector
253         PtrTriangleVec.push_back(std::shared_ptr<Triangle3D>(new
254             Triangle3D(iVerts,iFriction)));
255     }
256 }
257
258 #ifdef RDF_CONSOLE_OUTPUT
259     std::cout << std::endl;
260 #endif
261
262     file.close();

```

```
261
262     if (PtrTriangleVec.empty()) {
263         perror("Loaded mesh is empty");
264         return false;
265     } else {
266         return true;
267     }
268 }
269
270 // Generate vertices from a list of positions face line
271 void
272 MeshSurface::GenVerticesFromRawRDF(
273     std::vector<vec3> const & iNodes,
274     std::string          const & icurline,
275     vec3                  oVerts[3]
276 ) {
277     std::vector<std::string> svert;
278     vec3                    vVert;
279     algorithms::split( icurline, svert, " " );
280
281     int_type control_size = int(svert.size() - 4);
282     for ( int i = 1; i < int(svert.size() - control_size); ++i )
283     {
284         // Calculate and store the vertex
285         vVert = algorithms::getElement(iNodes, svert[i]);
286         oVerts[i-1] = vVert; // CONTROLLARE i <=
287                             3!!!!!!!!!!!!!!!!!!!!!!
288     }
289 }
290 } // namespace RDF
291
292 ///
293 /// eof: MeshRDF.hh
294 ///
```

B.3 PatchTire.hh

```
1 ///
2 /// file: PatchTire.hh
```

```
3 ///
4
5 /*!
6
7 \mainpage
8
9 Contact Patch Evaluation
10 =====
11
12 Master's Thesis
13
14 Algorithm for Tire Contact Patch Evaluation in Soft Real-Time
15
16 Academic Year 2019 · 2020
17
18 Graduant:
19 -----
20
21 Davide Stocco\n
22 Department of Industrial Engineering\n
23 University of Trento\n
24 davide.stocco@studenti.unitn.it
25
26 Supervisor:
27 -----
28
29 Prof. Enrico Bertolazzi\n
30 Department of Industrial Engineering\n
31 University of Trento\n
32 enrico.bertolazzi@unitn.it
33
34 */
35
36 #pragma once
37
38 #include <Eigen/Dense> // Eigen linear algebra Library
39 #include <chrono>      // chrono - STD Time Measurement Library
40 #include <cmath>       // Math.h - STD math Library
41 #include <fstream>     // fStream - STD File I/O Library
```

```
42 #include <iostream>      // Iostream - STD I/O Library
43 #include <string>        // String - STD String Library
44 #include <vector>        // Vector - STD Vector/Array Library
45
46 #include "RoadRDF.hh"    // RDF file extention Loader
47
48 //! Tire computations routine
49 namespace PatchTire {
50
51     typedef double real_type;  //!< Real number type
52     typedef int    int_type;   //!< Integer number type
53
54     typedef Eigen::Vector2d vec2;  //!< 2D vector type
55     typedef Eigen::Vector3d vec3;  //!< 3D vector type
56     typedef Eigen::Matrix3d mat3;  //!< 3x3 matrix type
57
58     static real_type quietNaN =
59         std::numeric_limits<real_type>::quiet_NaN();  //!< Not-a-
               Number type
60
61     typedef std::basic_ostream<char> ostream_type;  //!< Output
               stream type
62
63     real_type const epsilon = std::numeric_limits<real_type>::
               epsilon();
64
65     //! Algorithms for tire computations routine.
66     namespace algorithms {
67
68         //! Check if a ray hits a triangle object through Möller-
               Trumbore
69         //! intersection algorithm.
70         bool
71         rayIntersectsTriangle(
72             vec3 const    & RayOrigin,          //!< Ray origin
               position
73             vec3 const    & RayVector,          //!< Ray direction
               vector
74             RDF::Triangle3D & Triangle,          //!< Triangle object
```



```

75     vec3          & IntersectionPoint //!< Intersection point
76 );
77
78 //!< Find the intersection points between a circle and a line
    segment.
79 //!< Output integer gives the number of intersection points.
80 int_type
81 segmentIntersectsCircle(
82     vec2 const & Origin,          //!< Circle origin position
83     real_type    R,              //!< Circle radius
84     vec2 const & Point_1,        //!< Line segment point 1
85     vec2 const & Point_2,        //!< Line segment point 2
86     vec2          & Intersection_1, //!< Intersection point 1
87     vec2          & Intersection_2 //!< Intersection point 2
88 );
89
90 //!< Check if a point lays inside or outside a circumference
    .
91 //!< If output bool is true the point is inside the
    circumference,
92 //!< otherwise it is outside.
93 bool
94 pointInsideCircle(
95     vec2 const & Origin,  //!< Circle origin position
96     real_type    R,      //!< Circle radius
97     vec2 const & Point    //!< Query point
98 );
99
100 //!< Check if a point lays inside or outside a line segment.
101 //!< Warning: The point query point must be on the same rect
    of the line
102 //!< segment.
103 bool
104 pointOnSegment(
105     vec2 const & Point_1,  //!< Line segment point 1
106     vec2 const & Point_2,  //!< Line segment point 2
107     vec2 const & Point      //!< Query point
108 );
109

```

```
110 } // namespace algorithms
111
112 //! Class for handling tire disks
113 class Disk {
114 private:
115     vec2          OriginXZ;          //!< X0,Z0 origin vector
116     real_type     Y;                 //!< Y0 (= D) origin
117                                     coordinate or offset from center
118     real_type     R;                 //!< Disk radius
119     std::vector<vec2> PointsSequence; //!< Sampled terrain points
120                                     vector
121     real_type     PatchLength;       //!< Local patch length
122
123     Disk const & operator = ( Disk const & ); // operatore di
124                                     copia
125 public:
126     //! Variable set constructor for orientation object.
127     Disk(
128         vec2 const & _OriginXZ, //!< X0,Z0 origin coordinate
129         real_type _Y,          //!< Y0 (= D) origin coordinate
130         real_type _R           //!< Disk radius
131     ) {
132         OriginXZ = _OriginXZ;
133         Y        = _Y;
134         R        = _R;
135     }
136
137     Disk( Disk const & obj ) {
138         this->OriginXZ = obj.OriginXZ;
139         this->Y        = obj.Y;
140         this->R        = obj.R;
141         this->PatchLength = obj.PatchLength;
142         this->PointsSequence = obj.PointsSequence;
143     }
144
145     //! Set origin vector.
146     void
147     setOriginXZ( vec2 const & _OriginXZ )
```

```

146     { OriginXZ = _OriginXZ; }
147
148     //! Get origin vector XZ-axes coordinates.
149     vec2 const & getOriginXZ(void) { return OriginXZ; }
150
151     //! Get origin Y-axis coordinate.
152     real_type getOriginY(void) { return Y; }
153
154     //! Get the overall point sequence length inside the disk.
155     real_type getPatchLength(void) { return PatchLength; }
156
157     //! Set sampled terrain points vector and calculate area
        between disk and
158     //! segment.
159     //! Polygonal chain
160     void
161     setPointsSequence( std::vector<vec2> const & _PointsSequence
        ) {
162         PointsSequence.clear();
163         PointsSequence = _PointsSequence;
164         updatePatchLength();
165     }
166
167     private:
168         //! Calculate area between disk and segment.
169         void updatePatchLength(void);
170     };
171
172     //! Class for tire shadow bounding box
173     class Shadow {
174     private:
175         real_type Xmin;                                //!< Xmin
        shadow domain point
176         real_type Ymin;                                //!< Ymin
        shadow domain point
177         real_type Xmax;                                //!< Xmax
        shadow domain point
178         real_type Ymax;                                //!< Ymax
        shadow domain point

```

```
179     std::vector<G2lib::BBox::PtrBBox> PtrBBoxVec;  //!< Bounding
        boxes pointers
180     G2lib::AABBtree::PtrAABB PtrTree =
181         std::make_shared<G2lib::AABBtree>();  //!< Mesh tree
        pointer
182
183     Shadow( Shadow const & ); // costruttore di copia
184     Shadow const & operator = ( Shadow const & ); // operatore di
        copia
185
186 public:
187     //!< Default constructor for orientation object.
188     Shadow() {}
189     //!< Variable set constructor for orientation object.
190     Shadow(
191         real_type _Xmin,  //!< Xmin shadow domain point
192         real_type _Ymin,  //!< Ymin shadow domain point
193         real_type _Xmax,  //!< Xmax shadow domain point
194         real_type _Ymax  //!< Ymax shadow domain point
195     ) {
196         Xmin = _Xmin;
197         Ymin = _Ymin;
198         Xmax = _Xmax;
199         Ymax = _Ymax;
200         updatePtrBBox();
201         PtrTree->build(PtrBBoxVec);
202     }
203
204     //!< Set class member Xmin, second argument boolean allows to
        update the
205     //!< AABB tree of the tire shadow after the change of domain.
206     void
207     setXmin(
208         real_type _Xmin,  //!< Xmin shadow domain point
209         bool      updateTree = false  //!< Optional boolean for
        updating the tire shadow AABB tree
210     ) {
211         Xmin = _Xmin;
212         if ( updateTree == true ) {
```

```

213         updatePtrBBox();
214         PtrTree->build(PtrBBoxVec);
215     }
216 }
217
218     //!< Set class member Ymin, second argument boolean allows to
        update the
219     //!< AABB tree of the tire shadow.
220     void
221     setYmin(
222         real_type _Ymin,    //!< Ymin shadow domain point
223         bool      updateTree = false    //!< Optional boolean for
        updating the tire shadow AABB tree
224     ) {
225         Ymin = _Ymin;
226         if (updateTree == true) {
227             updatePtrBBox();
228             PtrTree->build(PtrBBoxVec);
229         }
230     }
231
232     //!< Set class member Xmax, second argument boolean allows to
        update the
233     //!< AABB tree of the tire shadow.
234     void
235     setXmax(
236         real_type _Xmax,    //!< Xmax shadow domain point
237         bool      updateTree = false    //!< Optional boolean for
        updating the tire shadow AABB tree
238     ) {
239         Xmax = _Xmax;
240         if (updateTree == true) {
241             updatePtrBBox();
242             PtrTree->build(PtrBBoxVec);
243         }
244     }
245
246     //!< Set class member Ymax, second argument boolean allows to
        update the

```

```
247    //! AABB tree of the tire shadow.
248    void
249    setYmax(
250        real_type _Ymax,    //!< Ymax shadow domain point
251        bool      updateTree = false    //!< Optional boolean for
            updating the tire shadow AABB tree
252    ) {
253        Ymax = _Ymax;
254        if (updateTree == true) {
255            updatePtrBBox();
256            PtrTree->build(PtrBBoxVec);
257        }
258    }
259
260    //! Get tire shadow AABB tree.
261    G2lib::AABBtree::PtrAABB const &
262    getAABBPtr(void) const
263    { return PtrTree; }
264
265    //! Get Xmin shadow domain point.
266    real_type getXmin() const { return Xmin; }
267
268    //! Get Ymin shadow domain point.
269    real_type getYmin() const { return Ymin; }
270
271    //! Get Xmax shadow domain point.
272    real_type getXmax() const { return Xmax; }
273
274    //! Get Ymax shadow domain point.
275    real_type getYmax() const { return Ymax; }
276
277    //! Clear the tire shadow domain.
278    void
279    clear(void) {
280        Xmin = quiteNaN;
281        Ymin = quiteNaN;
282        Xmax = quiteNaN;
283        Ymax = quiteNaN;
284    }
```

```

285
286     //!< Print tire shadow bounding box vertices.
287     void
288     print( ostream_type & stream ) const {
289         stream
290         << "BBOX (xmin,ymin,xmax,ymax) = ( " << Xmin << ", " <<
                Ymin
291         << ", " << Xmax << ", " << Ymax << " )\n";
292     }
293
294     //!< Get the mesh G2lib bounding boxes pointers vector.
295     std::vector<G2lib::BBox::PtrBBox> const &
296     getPtrBBox() const
297     { return PtrBBoxVec; }
298
299 private:
300     //!< Update the mesh G2lib bounding boxes pointers vector.
301     void
302     updatePtrBBox(void) {
303         PtrBBoxVec.clear();
304         PtrBBoxVec.push_back(
305             G2lib::BBox::PtrBBox(
306                 new G2lib::BBox(Xmin, Ymin, Xmax, Ymax, 0, 0)
307             )
308         );
309     }
310
311     friend class TireDisks;
312     friend class TireData;
313 };
314
315     //!< Class for handling tire origin, yaw angle and camber angle
316     class Orientation {
317     private:
318         vec3      Origin;    //!< Origin position
319         real_type Yaw;        //!< Yaw angle [rad]
320         real_type Camber;     //!< Camber angle [rad]
321
322         Orientation( Orientation const & ) = delete; // costruttore

```

```
        di copia
323     Orientation & operator = ( Orientation const & ) = delete; //
        operatore di copia
324
325 public:
326
327     //! Default constructor for orientation object.
328     Orientation() {}
329
330     //! Variable set constructor for orientation object.
331     Orientation(
332         vec3    & _Origin,        //!< Origin position
333         real_type _Yaw,           //!< Yaw angle [rad]
334         real_type _Camber        //!< Camber angle [rad]
335     ) {
336         Origin = _Origin;
337         Yaw    = _Yaw;
338         Camber = _Camber;
339     }
340
341     //! Get axes versors components.
342     mat3 getXYZ(void) const;
343
344     //! Get current X-axis versor components.
345     vec3
346     getX(void)
347     { return (getXYZ() * vec3(1.0, 0, 0)).normalized(); }
348
349     //! Get current Y-axis versor components.
350     vec3
351     getY(void)
352     { return (getXYZ() * vec3(0, 1.0, 0)).normalized(); }
353
354     //! Get current Z-axis versor components.
355     vec3
356     getZ(void)
357     { return (getXYZ() * vec3(0, 0, 1.0)).normalized(); }
358
359     //! Get camber angle.
```



```

360     real_type getCamber(void) const { return Camber; }
361
362     //! Get yaw angle.
363     real_type getYaw(void) const { return Yaw; }
364
365     //! Get origin vector.
366     vec3 const & getOrigin(void) const { return Origin; }
367
368     //! Set camber angle.
369     void setCamber( real_type _Camber ) { Camber = _Camber; }
370
371     //! Set yaw angle.
372     void setYaw( real_type _Yaw ) { Yaw = _Yaw; }
373
374     //! Set camber angle.
375     void setOrigin( vec3 const & _Origin ) { Origin = _Origin; }
376
377     //! Set camber angle.
378     void set( Orientation const & in ) {
379         this->Origin = in.Origin;
380         this->Yaw     = in.Yaw;
381         this->Camber = in.Camber;
382     }
383
384     friend class TireDisks;
385 };
386
387     //! Class for handling the patch evaluation precision
388     class SolverPrecision {
389     private:
390         int_type Xdiv = 20;  //!< Number of divisions in X-axis
391         int_type Ydiv = 20;  //!< Number of divisions in Y-axis
392
393         SolverPrecision( SolverPrecision const & ) = delete; //
            costruttore di copia
394         SolverPrecision & operator = ( SolverPrecision const & ) =
            delete; // operatore di copia
395
396     public:

```

```
397     //! Default constructor for SolverPrecision object.
398     SolverPrecision() {}
399     //! Variable set constructor for SolverPrecision object.
400     SolverPrecision(
401         real_type _Xdiv, //!< Number of divisions in X-axis
402         real_type _Ydiv  //!< Number of divisions in Y-axis
403     ) {
404         Xdiv = _Xdiv;
405         Ydiv = _Ydiv;
406     }
407
408     //! Get number of divisions in X-axis.
409     real_type getXdiv() const { return Xdiv; }
410
411     //! Get number of divisions in Y-axis.
412     real_type getYdiv() const { return Ydiv; }
413
414     //! Set number of divisions in X-axis.
415     void setXdiv( real_type _Xdiv ) { Xdiv = _Xdiv; }
416
417     //! Set number of divisions in Y-axis.
418     void setYdiv( real_type _Ydiv ) { Ydiv = _Ydiv; }
419
420     void
421     set( SolverPrecision const & in ) {
422         this->Xdiv = in.Xdiv;
423         this->Ydiv = in.Ydiv;
424     }
425
426     friend class TireDisks;
427 };
428
429     //! Class for handling ETRTO tire data
430     class ETRTO {
431     private:
432         real_type SectionWidth;  //!< Tire section width [mm]
433         real_type AspectRatio;   //!< Tire aspect ratio [%]
434         real_type RimDiameter;   //!< Rim diameter [in]
435
```

```

436     ETRTO( ETRTO const & ); // costruttore di copia
437
438 public:
439     //! Default constructor for orientation object.
440     ETRTO() {}
441
442     ETRTO const &
443     operator = ( ETRTO const & rhs ) {
444         this->SectionWidth = rhs.SectionWidth;
445         this->AspectRatio  = rhs.AspectRatio;
446         this->RimDiameter  = rhs.RimDiameter;
447         return *this;
448     }
449
450     //! Variable set constructor for tire object.
451     ETRTO(
452         real_type _SectionWidth,  //!< Tire section width[mm]
453         real_type _AspectRatio,   //!< Tire aspect ratio [%]
454         real_type _RimDiameter    //!< Rim diameter [in]
455     ) {
456         SectionWidth = _SectionWidth;
457         AspectRatio  = _AspectRatio;
458         RimDiameter  = _RimDiameter;
459     }
460
461     //! Get sidewall height [m].
462     real_type
463     getSidewallHeight(void) const
464     { return SectionWidth / 1000.0 * AspectRatio / 100; }
465
466     //! Get external tire diameter [m].
467     real_type
468     getTireDiameter(void) const
469     { return RimDiameter * 0.0254 + getSidewallHeight() * 2.0; }
470
471     //! Get section width [m].
472     real_type
473     getSectionWidth(void) const
474     { return SectionWidth / 1000.0; }

```

```
475
476     //! Display tire data.
477     void
478     print( ostream_type & stream ) const {
479         stream
480         << "Current Tire Data:\n"
481         << "\tSection width = " << SectionWidth << " mm\n"
482         << "\tAspect ratio   = " << AspectRatio << " %\n"
483         << "\tRim diameter   = " << RimDiameter << " in\n"
484         << "\tS.wall Height = " << getSidewallHeight() * 1000 << "
485         << "\tTire diameter = " << getTireDiameter() * 1000 << "
486         << " mm\n\n";
487     }
488 };
489
490     //! Class for evaluating the contact patch
491     class TireDisks {
492     private:
493         std::vector<Disk> DiskVector;    //! Disks instance vector
494         ETRTO             TireDenom;     //!< ETRTO tire denomination
495         object
496         SolverPrecision    Precision;    //!< Solver precision object
497         Orientation        Orient;       //!< Orientation object
498         Shadow             iShadow;      //!< Shadow bounding box
499         object
500         RDF::MeshSurface   iMesh;        //! RDF mesh object pointer
501         std::vector<std::shared_ptr<RDF::Triangle3D> >
502         intersectionTriPtr;    //!< Local intersected triangles
503         vector
504         Eigen::MatrixXd     intersectionGrid;    //! Local sampling
505         grid
506
507     public:
508         TireDisks( TireDisks const & ); // costruttore di copia
509         TireDisks const & operator = ( TireDisks const & ); //
510         operatore di copia
```

```

506         ETRTO          const & _TireDenom,
507         SolverPrecision const & _Precision
508     ) {
509         TireDenom        = _TireDenom;
510         Precision.set(_Precision);
511         intersectionGrid = Eigen::MatrixXd( Precision.Ydiv + 1,
512             Precision.Xdiv + 1 ); // Y sampling (rows), X sampling
513                                   (columns)
514         std::vector<real_type> Dvec = offsetDisk(Precision.Ydiv);
515         real_type R
516             = TireDenom.getTireDiameter() /
517               2.0;
518         for ( int_type i = 0; i <= Precision.Ydiv; ++i )
519             DiskVector.push_back( Disk( vec2(0, 0), Dvec[i], R) );
520     }
521
522     //! Set the tire orientation
523     void
524     setOrientation( Orientation const & _Orient ) {
525         Orient.set(_Orient);
526         updateShadow();
527         //updateIntersectionList();
528     }
529
530     //! Set the terrain mesh
531     void
532     setMesh( RDF::MeshSurface const & _iMesh ) {
533         iMesh.set(_iMesh);
534     }
535
536     //! Get orientation information
537     Orientation const &
538     getOrientation(void) const
539     { return Orient; }
540
541     //! Get orientation information
542     SolverPrecision const &
543     getPrecision(void) const
544     { return Precision; }
545

```

```
542    //!< Get grid step on X-axis
543    real_type
544    getXstep(void) const
545    { return TireDenom.getTireDiameter() / Precision.Xdiv; }
546
547    //!< Get grid step on Y-axis
548    real_type
549    getYstep(void) const
550    { return TireDenom.getSectionWidth() / Precision.Ydiv; }
551
552    //!< Get i-th instantiated disk
553    Disk const &
554    getithDisk( int_type i ) const
555    { return DiskVector[i]; }
556
557    //!< Perform triangles sampling
558    void
559    gridSampling( bool print = false );
560
561    //!< Find single point intersection between tire and mesh (
562        Pacejka Single
563        //!< Contact Point) with AABB tree
564    real_type
565    MF_Pacejka_SCP( bool print = false );
566
567    //!< Evaluate the contact patch between tire and mesh (Magic
568        Formula
569        //!< Swift Contact Patch Evaluation)
570    real_type
571    MF_Swift_PE( bool print = false );
572
573    //!< Evaluate the local effective road plane (Magic Formula
574        //!< Swift Effective road plane)
575    std::vector<real_type>
576    MF_Swift_ERP( bool print = false );
577
578    void
579    Move(
580        vec3      const & start,    //!< Starting position
```

```

579     vec3      const & arrival, //!< Arrival position
580     real_type const & freq,    //!< Sampling frequency [Hz]
581     real_type const & speed,   //!< Tire speed [m/s]
582     bool      print
583 );
584
585     //!< Update the local intersected triangles list
586     void
587     updateIntersectionList(void);
588
589 private:
590     std::vector<real_type>
591     offsetDisk( int_type n );
592
593     //!< Find the rectangular shadow domain of the tire in X and Y
594     -axis
595     // if true print the new shadow domain
596     void
597     updateShadow( bool print = false );
598
599
600     //!< Find nearest intersection to origin
601     real_type
602     calculateMagnitude( std::vector<vec3> const &
603                         IntersectionPointVec );
604
605 };
606
607 } // namespace PatchTire
608
609 /// eof: PatchTire.hh
610

```

B.4 PatchTire.cc

```

1 #include "PatchTire.hh" // RDF file extention Loader
2
3 //!< Tire computations routine

```

```
4 namespace PatchTire {
5
6   // - - - - -
7   // namespace algorithms
8   // - - - - -
9
10  //! Holds all of the algorithms needed for the contact patch
    evaluation
11  namespace algorithms {
12
13    //! Check if a ray hits a triangle object through Möller-
        Trumbore
14    //! intersection algorithm
15    bool
16    rayIntersectsTriangle(
17        vec3 const      & RayOrigin,          //!< Ray origin
            position
18        vec3 const      & RayDirection,        //!< Ray direction
            vector
19        RDF::Triangle3D & Triangle,            //!< Triangle object
20        vec3             & IntersectionPoint  //!< Intersection point
21    ) {
22        vec3      E1  = Triangle.getithVertex(1) - Triangle.
            getithVertex(0);
23        vec3      E2  = Triangle.getithVertex(2) - Triangle.
            getithVertex(0);
24        vec3      A   = RayDirection.cross(E2);
25        real_type det = A.dot(E1);
26        real_type t_param;
27
28        if ( det > epsilon ) {
29            vec3      T = RayOrigin - Triangle.getithVertex(0);
30            real_type u = A.dot(T);
31            if ( u < 0.0 || u > det ) return false;
32            vec3      B = T.cross(E1);
33            real_type v = B.dot(RayDirection);
34            if ( v < 0.0 || u + v > det ) return false;
```



```

35     t_param = (B.dot(E2))/det;
36 } else if ( det < -epsilon ) {
37     vec3      T = RayOrigin - Triangle.getithVertex(0);
38     real_type u = A.dot(T);
39     if ( u > 0.0 || u < det ) return false;
40     vec3      B = T.cross(E1);
41     real_type v = B.dot(RayDirection);
42     if ( v > 0.0 || u + v < det ) return false;
43     t_param = (B.dot(E2))/det;
44 } else {
45     return false;
46 }
47 // At this stage we can compute t to find out where the
48     intersection
49 // point is on the line
50 if ( t_param >= 0 ) { // ray intersection
51     IntersectionPoint = RayOrigin + RayDirection * t_param;
52     return true;
53 } else {
54     // This means that there is a line intersection on
55     negative side
56     return false;
57 }
58 }
59 // Find the points of intersection.
60 int_type
61 segmentIntersectsCircle(
62     vec2 const & Origin,
63     real_type    R,
64     vec2 const & Point_1,
65     vec2 const & Point_2,
66     vec2         & Intersect_1,
67     vec2         & Intersect_2
68 ) {
69     real_type t_param;
70
71     vec2      d    = Point_2 - Point_1;
72     vec2      P10 = Point_1 - Origin;

```

```
72     real_type A    = d.dot(d);
73     real_type B    = 2 * d.dot(P10);
74     real_type C    = P10.dot(P10) - R*R;
75     real_type det = B*B - 4 * A * C;
76     if ( A <= epsilon || det < 0 ) {
77         // No real solutions
78         Intersect_1 = vec2(quiteNaN, quiteNaN);
79         Intersect_2 = vec2(quiteNaN, quiteNaN);
80         return 0;
81     } else if ( det == 0.0 ) {
82         // One solution
83         t_param      = -B / (2*A);
84         Intersect_1 = Point_1 + t_param * d;
85         Intersect_2 = vec2(quiteNaN, quiteNaN);
86         return 1;
87     } else {
88         // Two solutions
89         t_param = (-B + std::sqrt(det)) / (2 * A);
90         Intersect_1 = Point_1 + t_param * d;
91         t_param = (-B - std::sqrt(det)) / (2 * A);
92         Intersect_2 = Point_1 + t_param * d;
93         return 2;
94     }
95 }
96
97 bool
98 pointInsideCircle(
99     vec2 const & Origin,
100     real_type    R,
101     vec2 const & Point
102 ) {
103     // Compare radius of circle with distance
104     // of its center from given point
105     vec2 PO = Point - Origin;
106     return PO.dot(PO) <= R*R;
107 }
108
109 bool
110 pointOnSegment(
```

```

111     vec2 const & Point_1,
112     vec2 const & Point_2,
113     vec2 const & Point
114 ) {
115     // A and B are the extremities of the current segment C is
        the point to
116     // check
117
118     // Create the vector AB
119     vec2 AB = Point_2 - Point_1;
120     // Create the vector AC
121     vec2 AC = Point - Point_1;
122
123     // Compute the cross product of AB and AC
124     // Check if the three points are aligned (cross product is
        null)
125     // if ((AB.cross3(AC)).squaredNorm() > epsilon)
126     // return false;
127
128     // Compute the dot product of vectors
129     real_type KAC = AB.dot(AC);
130     if ( KAC < -epsilon ) return false;
131     if ( abs(KAC) < epsilon ) return true;
132
133     // Compute the square of the segment lenght
134     real_type KAB = AB.dot(AB);
135     if ( KAC > KAB ) return false;
136     if ( abs(KAC - KAB) < epsilon ) return true;
137
138     // The point is on the segment
139     return true;
140 }
141 } // namespace algorithms
142
143 // - - - - -
        - - - - -
144 // class Disk
145 // - - - - -
        - - - - -

```

```
146
147  //! Calculate area between disk and segment
148  void
149  Disk::updatePatchLength(void) {
150      // Reset class variable
151      PatchLength = 0.0;
152
153      for ( unsigned i = 0; i < PointsSequence.size() - 1; ++i ) {
154          vec2      Intersection_1, Intersection_2;
155          vec2      Point_1 = PointsSequence[i];
156          vec2      Point_2 = PointsSequence[i + 1];
157          int_type Type      = algorithms::segmentIntersectsCircle(
158              OriginXZ, R, Point_1, Point_2, Intersection_1,
159                  Intersection_2
160          );
161          // std::cout << " " << Type;
162          if ( Type == 0 ) {
163              // No contact points, the line segment is not into the
164              Disk
165              continue;
166          } else if (Type == 1) {
167              // Tangent, no length added
168              continue;
169          } else if (Type == 2) {
170              // Check whether the two segment points are into the
171              circle
172              bool Pose_pt1 = algorithms::pointInsideCircle(OriginXZ, R
173                  , Point_1);
174              bool Pose_pt2 = algorithms::pointInsideCircle(OriginXZ, R
175                  , Point_2);
176
177              // Check whether the two intersection points are onto
178              the line segment
179              bool Pose_int1 = algorithms::pointOnSegment(Point_1,
180                  Point_2, Intersection_1);
181              bool Pose_int2 = algorithms::pointOnSegment(Point_1,
182                  Point_2, Intersection_2);
183
184              // Cases
```

```

177         // Line segment Point_1 and line segment Point_2 into the
           circle,
178         // intersection points outside line segment
179         if ( Pose_pt1 && Pose_pt2 && !Pose_int1 && !Pose_int2 ) {
180             PatchLength += (Point_2 - Point_1).norm();
181             continue;
182         }
183         // Intersection points into the line segment and line
           segment points
184         // outside the circle
185         else if ( !Pose_pt1 && !Pose_pt2 && Pose_int1 &&
           Pose_int2 ) {
186             PatchLength += (Intersection_2 - Intersection_1).norm()
           ;
187             continue;
188         }
189         // Line segment Point_1 outside the circle, line segment
           Point_2
190         // inside the circle
191         else if ( !Pose_pt1 && Pose_pt2 ) {
192             if ( Pose_int1 && !Pose_int2 ) {
193                 // Add length from Intersection_1 to Point_2
194                 PatchLength += (Intersection_1 - Point_2).norm();
195                 continue;
196             } else if ( Pose_int2 && !Pose_int1 ) {
197                 // Add length from Intersection_2 to Point_2
198                 PatchLength += (Intersection_2 - Point_2).norm();
199                 continue;
200             }
201         }
202         // Line segment Point_1 inside the circle, line segment
           Point_2
203         // outside the circle
204         else if ( Pose_pt1 && !Pose_pt2 ) {
205             if ( Pose_int1 && !Pose_int2 ) {
206                 // Add length from Intersection_1 to Point_1
207                 PatchLength += (Intersection_1 - Point_1).norm();
208                 continue;
209             } else if ( !Pose_int1 && Pose_int2 ) {

```

```
210         // Add length from Intersection_2 to Point_1
211         PatchLength += (Intersection_2 - Point_1).norm();
212         continue;
213     }
214 }
215 }
216 }
217 // std::cout << "Length: " << PatchLength << std::endl;
218 }
219
220 // - - - - -
221 // class Orientation
222 // - - - - -
223
224 //! Get axes versors components
225 mat3
226 Orientation::getXYZ(void) const {
227     // Transformation matrix for Z-axis rotation
228     mat3 Rot_Z;
229     Rot_Z << cos(Yaw), -sin(Yaw), 0,
230             sin(Yaw),  cos(Yaw), 0,
231             0,          0, 1;
232     // Transformation matrix for X-axis rotation
233     mat3 Rot_X;
234     Rot_X << 1,          0,          0,
235             0, cos(Camber), -sin(Camber),
236             0, sin(Camber),  cos(Camber);
237
238     return Rot_Z * Rot_X;
239 }
240
241 // - - - - -
242 // class TireDisks
243 // - - - - -
244
```

```

245 void
246 TireDisks::gridSampling(bool print) {
247
248     // Orient the sampling
249     mat3 MatrixInv = Orient.getXYZ().inverse();
250
251     // Storing indexers
252     unsigned i = 0;
253     unsigned j = 0;
254     std::vector<vec2> PointsSequence;
255
256     for ( real_type y = -TireDenom.getSectionWidth() / 2.0;
257          y <= TireDenom.getSectionWidth() / 2.0;
258          y += getYstep(), ++j ) {
259         for ( real_type x = -TireDenom.getTireDiameter() / 2.0;
260              x <= TireDenom.getTireDiameter() / 2.0;
261              x += getXstep(), ++i ) {
262             // Update ray center in tire coordinates
263             vec3 curCenter = Orient.getOrigin() + MatrixInv * vec3(x,
264                             y, 0);
265
266             for ( unsigned t = 0; t < intersectionTriPtr.size(); ++t
267                  ) {
268                 vec3 IntersectionPoint;
269                 bool intersection = algorithms::rayIntersectsTriangle(
270                     Orient.getOrigin(),
271                     -Orient.getZ(), // careful to the minus sign !!!
272                     *intersectionTriPtr[t],
273                     IntersectionPoint
274                 );
275
276                 if ( intersection ) {
277                     // Store results
278                     real_type z = (IntersectionPoint - curCenter).norm();
279                     intersectionGrid(j, i) = z; // Y sampling (rows), X
280                                     sampling (columns)
281                     PointsSequence.push_back(vec2(x, z));
282                     break;
283                 } else {

```

```
281         intersectionGrid(j, i) = -1.0;  // Y sampling (rows),
           X sampling (columns)
282     }
283 }
284 }
285 // Calculate chain length inside the circle
286 DiskVector[j].setPointsSequence(PointsSequence);
287
288 if ( print ) {
289     std::cout
290         << "Disk " << j << " of " << DiskVector.size() - 1
291         << " -> Chain: ";
292     for ( unsigned k = 0; k < PointsSequence.size(); ++k )
293         std::cout << PointsSequence[k][1] << " ";
294     std::cout << std::endl;
295 }
296 PointsSequence.clear();
297
298 // Update indexer
299 i = 0;
300 }
301 if ( print ) std::cout << std::endl << intersectionGrid <<
           std::endl;
302 }
303
304 //! Find single point intersection between tire and mesh (
           Pacejka Single
305 //! Contact Point) with AABB tree
306 real_type
307 TireDisks::MF_Pacejka_SCP(bool print) {
308     // Ray-Triangle intersection Point
309     std::vector<vec3> IntersectionPointVec;
310     real_type Magnitude = quiteNaN;
311
312     vec3 IntersectionPoint;
313     for ( unsigned i = 0; i < intersectionTriPtr.size(); ++i ) {
314         if ( algorithms::rayIntersectsTriangle(
315             Orient.getOrigin(), -Orient.getZ(),  // careful to
                 the minus sign !!!
```



```

316         *intersectionTriPtr[i], IntersectionPoint
317     ) ) {
318         // Store intersection point in proper vector
319         IntersectionPointVec.push_back(IntersectionPoint);
320     }
321 }
322 // Find nearest intersection to origin
323 Magnitude = calculateMagnitude(IntersectionPointVec);
324
325 // Display information
326 if ( print )
327     std::cout
328         << "Single contact point for Pacejka MF -> "
329         << IntersectionPointVec.size() << " intersections found"
330         << "\n\tInt. Point = X " << IntersectionPoint[0]
331         << ", Y " << IntersectionPoint[1]
332         << ", Z " << IntersectionPoint[2]
333         << "\n\tMagnitude = " << Magnitude
334         << "\n\n";
335     return Magnitude;
336 }
337
338 //! Evaluate the contact patch between tire and mesh (Magic
    Formula
339 //! Swift Contact Patch Evaluation)
340 real_type
341 TireDisks::MF_Swift_PE(bool print) {
342     real_type PatchArea = 0.0;
343     real_type Ystep      = getYstep();
344     for ( unsigned i = 0; i < DiskVector.size(); ++i )
345         PatchArea += DiskVector[i].getPatchLength() * Ystep;
346
347     if ( print )
348         std::cout
349             << "Contact Patch Area for Swift MF -> "
350             << PatchArea * pow(10, 6) << " mm^2\n\n";
351     return PatchArea;
352 }
353

```

```
354  //! Evaluate the local effective road plane (Magic Formula
355  //! Swift Effective road plane)
356  std::vector<real_type>
357  TireDisks::MF_Swift_ERP( bool print ) {
358      int_type nrows = int_type( intersectionGrid.rows() );
359      int_type ncols = int_type( intersectionGrid.cols() );
360
361      real_type angle_RotY  = 0.0;
362      real_type deltaY_RotY = 0.0;
363
364      real_type angle_RotX  = 0.0;
365      real_type deltaY_RotX = 0.0;
366
367      real_type deltaX_RotY = TireDenom.getTireDiameter();
368      real_type deltaX_RotX = TireDenom.getSectionWidth();
369
370      for ( int_type i = 0; i < nrows; ++i ) {
371          deltaY_RotY = intersectionGrid(i, 0) - intersectionGrid(i,
              ncols - 1);
372          angle_RotY += atan2(deltaY_RotY, deltaX_RotY);
373      }
374      angle_RotY /= nrows;
375
376      for (int_type i = 0; i < ncols; i++) {
377          deltaY_RotX = intersectionGrid(0, i) - intersectionGrid(
              nrows - 1, i);
378          angle_RotX += atan2(deltaY_RotX, deltaX_RotX);
379      }
380      angle_RotX /= ncols;
381
382      if ( print )
383          std::cout
384              << "Effective Road Plane for Swift MF -> "
385              << "X: " << angle_RotX * 180 / G2lib::m_pi << "°, "
386              << "Y: " << angle_RotY * 180 / G2lib::m_pi << "°\n\n";
387
388      return std::vector<real_type>(angle_RotX, angle_RotY);
389  }
390
```

```

391 void
392 TireDisks::Move(
393     vec3      const & start,    //!< Starting position
394     vec3      const & arrival,  //!< Arrival position
395     real_type const & freq,     //!< Sampling frequency [Hz]
396     real_type const & speed,    //!< Tire speed [m/s]
397     bool      print
398 ) {
399     // Set current position
400     vec3 curpos = start;
401
402     // Set and initialize orientation
403     real_type Yaw    = 0;
404     real_type Camber = 0;
405
406     real_type nstep = (arrival - start).norm() / speed * freq;
407     vec3 step      = (arrival - start) / nstep;
408
409     // Start chronometer
410     auto start_move = std::chrono::system_clock::now();
411
412     for ( unsigned i = 0; i < nstep; ++i ) {
413         // Set current orientation
414         Orientation Pose(curpos, Yaw, Camber);
415         setOrientation(Pose);
416
417         // Evaluate Single Contact Point
418         MF_Pacejka_SCP(print);
419
420         // Perform grid sampling
421         gridSampling(false);
422
423         // Evaluate Patch
424         MF_Swift_PE(print);
425
426         // Evaluate Effective Road Plane
427         MF_Swift_ERP(print);
428
429         // Update current position

```

```
430     curpos += step;
431 }
432 // Stop chronometer
433 auto end_move = std::chrono::system_clock::now();
434
435 // This constructs a duration object using milliseconds
436 auto elapsed_move = std::chrono::duration_cast<std::chrono::
    microseconds>(
437     end_move - start_move);
438 std::cout
439     << "Execution time = " << elapsed_move.count() / 1000.0 <<
        " ms\n"
440     << "Step execution time = "
441     << (elapsed_move.count() / 1000.0) / nstep << " ms\n";
442 }
443
444 std::vector<real_type>
445 TireDisks::offsetDisk( int_type n ) {
446     std::vector<real_type> offsetVec;
447     for ( int_type i = 0; i < n; ++i )
448         // Index from Y positive to Y negative
449         offsetVec.push_back( TireDenom.getSectionWidth() / 2.0 -
450                             TireDenom.getSectionWidth() * i / n
                                );
451     return offsetVec;
452 }
453
454 //!< Find the rectangular shadow domain of the tire in X and Y
    -axis
455 void
456 TireDisks::updateShadow( bool print ) {
457     // Calculate maximum covered space
458     real_type diagonal = hypot( TireDenom.getSectionWidth(),
459                                TireDenom.getTireDiameter() ) /
        2;
460
461     // Increment shadow to take in account camber angle
462     real_type inc = 1.1;
463
```

```

464     // Set new tire shadow domain
465     iShadow.setXmax(Orient.Origin[0] + inc * diagonal);
466     iShadow.setXmin(Orient.Origin[0] - inc * diagonal);
467     iShadow.setYmax(Orient.Origin[1] + inc * diagonal);
468     iShadow.setYmin(Orient.Origin[1] - inc * diagonal, true);
469
470     // Print the new shadow domain
471     if ( print ) iShadow.print(std::cout);
472 }
473
474 //! Update the local intersected triangles list
475 void
476 TireDisks::updateIntersectionList(void) {
477     G2lib::AABBtree::VecPairPtrBBox intersectionList;
478     intersectionTriPtr.clear();
479     (*iMesh.getAABBPtr()).intersect(*iShadow.getAABBPtr(),
480                                     intersectionList);
481     std::cout << intersectionList.size() << ", ";
482     for ( unsigned i = 0; i < intersectionList.size(); ++i ) {
483         intersectionTriPtr.push_back(
484             iMesh.ithTrianglePtr((*intersectionList[i].first).Id())
485         );
486         // std::cout << (*intersectionList[i].first).Id() << ",
487         // ";
488     }
489 }
490
491 //! Find nearest intersection to origin
492 real_type
493 TireDisks::calculateMagnitude(
494     std::vector<vec3> const & IntersectionPointVec
495 ) {
496     real_type iMagnitude = quiteNaN;
497     real_type Magnitude = quiteNaN;
498     for ( unsigned i = 0; i < IntersectionPointVec.size(); ++i
499         ) {
500         iMagnitude = TireDenom.getTireDiameter() / 2.0 -
501             (IntersectionPointVec[i] - Orient.getOrigin
502              ()).norm();

```

```
499         // std::cout << "iMagnitude " << i << ": " << iMagnitude
          << std::endl;
500     if ( i == 0 ) {
501         Magnitude = iMagnitude;
502         continue;
503     } else {
504         if (iMagnitude > Magnitude)
505             Magnitude = iMagnitude;
506     }
507 }
508 return Magnitude;
509 }
510
511 } // namespace algorithms
```

C.1 Computational Geometry Tests

C.2 Contact Patch Evaluation Tests

Bibliografia

- [1] Lars Nyborg Egbert Bakker e Hans B. Pacejka. “Tyre Modelling for Use in Vehicle Dynamics Studies”. In: *SAE Transactions* 96 (1987), pp. 190–204. issn: 0096736X.
- [2] Juan J. Jiménez, Rafael J. Segura e Francisco R. Feito. “A Robust Segment/-Triangle Intersection Algorithm for Interference Tests. Efficiency Study”. In: *Comput. Geom. Theory Appl.* 43.5 (lug. 2010), pp. 474–492. issn: 0925-7721. doi: 10.1016/j.comgeo.2009.10.001. url: <http://dx.doi.org/10.1016/j.comgeo.2009.10.001>.
- [3] Dick De Waard Karel A. Brookhuis e Wiel H. Janssen. “Behavioural impacts of advanced driver assistance systems—an overview”. In: *European Journal of Transport and Infrastructure Research* 1.3 (2019).
- [4] Matteo Larcher. “Development of a 14 Degrees of Freedom Vehicle Model for Realtime Simulations in 3D Environment”. Master Thesis. University of Trento.
- [5] Anu Maria. “Introduction to modeling and simulation”. In: *Winter simulation conference* 29 (gen. 1997), pp. 7–13.
- [6] Tomas Möller e Ben Trumbore. “Fast, Minimum Storage Ray-triangle Intersection”. In: *J. Graph. Tools* 2.1 (ott. 1997), pp. 21–28. issn: 1086-7651. doi: 10.1080/10867651.1997.10487468. url: <http://dx.doi.org/10.1080/10867651.1997.10487468>.
- [7] Hans Pacejka. *Tire and vehicle dynamics, 3rd Edition*. 2012.
- [8] Georg Rill. *Road vehicle dynamics: fundamentals and modeling*. 2011.
- [9] A. J. C. Schmeitz. “A semi-empirical, three-dimensional, tyre model for rolling over arbitrary road unevennesses”. Tesi di dott. Technische Universiteit Delft, 2004.

- [10] A. J. C. Schmeitz, I. J. M. Besselink e S. T. H. Jansen. “TNO MF-SWIFT”.
In: *Vehicle System Dynamics* 45.sup1 (2007), pp. 121–137. doi: 10 . 1080 /
00423110701725208. eprint: <https://doi.org/10.1080/00423110701725208>.
URL: <https://doi.org/10.1080/00423110701725208>.